



DOI:10.3872/j.issn.1007-385x.2022.05.007

## · 基础研究 ·

## lncRNA TUG1通过miR-524-5p/BRAF轴调节甲状腺乳头状癌TPC-1细胞的增殖、凋亡和EMT进程

李秀君<sup>1</sup>, 刘宝利<sup>1</sup>, 朱翠敏<sup>2</sup>(1. 河北省唐山市工人医院 病理科, 河北 唐山 063003; 2. 承德医学院附属医院 肿瘤科, 河北 承德 067020)

**[摘要]** 目的:lncRNA 牛磺酸上调基因1(lncRNA TUG1)对甲状腺乳头状癌(PTC)细胞(TPC-1)增殖、凋亡和EMT进程的影响及作用机制。方法:qPCR检测人PTC组织(2019年5月至2021年4月期间在河北省唐山市工人医院手术切除的35例PTC组织及对应癌旁组织标本)与人PTC细胞TPC-1、BHP10-3、K1、SW-1736及人正常甲状腺上皮Nthyori 3-1细胞中lncRNA TUG1的表达。体外培养TPC-1细胞,将其分为对照组、si-NC组、si-TUG1组、miR-NC组、miR-524-5p mimic组、si-TUG1+NC inhibitor组、si-TUG1+miR-524-5p inhibitor组、miR-524-5p mimic+pcDNA组、miR-524-5p mimic+pcDNABRAF组,对细胞进行si-TUG1、miR-524-5 pmimic、miR-524-5p inhibitor、pcDNA BRAF和各自相应的对照质粒转染,采用CCK-8法、FCM法分别检测TPC-1细胞增殖、凋亡情况;WB法检测TPC-1细胞中BRAF、PCNA、Caspase-3、E-cadherin、N-cadherin和vimentin的表达,双荧光素酶报告基因实验验证miR-524-5p与lncRNA TUG1、BRAF的靶向关系。结果:lncRNA TUG1在PTC组织及细胞中呈高表达(均P<0.05);敲减lncRNA TUG1表达或上调miR-524-5p表达可显著抑制TPC-1细胞增殖及EMT,促进细胞凋亡(均P<0.05);双荧光素酶报告基因实验显示,lncRNA TUG1与BRAF、miR-524-5p之间存在靶向关系;抑制miR-524-5p表达可逆转敲减lncRNA TUG1表达对TPC-1细胞的增殖、EMT进程的抑制及对其凋亡的促进作用(均P<0.05),上调BRAF表达可逆转过表达miR-524-5p对TPC-1细胞增殖、EMT的抑制及对其凋亡的促进作用(均P<0.05)。结论:lncRNA TUG1在PTC组织与TPC-1细胞中呈高表达,敲减lncRNA TUG1表达可通过miR-524-5p/BRAF轴抑制PTC细胞的增殖与EMT进程,并促进TPC-1细胞凋亡。

**[关键词]** 长链非编码RNA 牛磺酸上调基因1;miR-524-5p;鼠类肉瘤滤过性毒菌致癌同源体B1;甲状腺乳头状癌;增殖;凋亡;上皮间质转化

**[中图分类号]** R736.1; R730.2   **[文献标识码]** A   **[文章编号]** 1007-385x(2022)05-0434-08

## lncRNA TUG1 regulates the proliferation, apoptosis and EMT of thyroid papillary carcinoma TPC-1 cells by regulating the miR-524-5p/BRAF axis

LI Xiujun<sup>1</sup>, LIU Baoli<sup>1</sup>, ZHU Cuimin<sup>2</sup> (1. Department of Pathology, Tangshan Workers' Hospital, Tangshan 063003, Hebei, China;  
2. Department of Oncology, Affiliated Hospital of Chengde Medical College, Chengde 067020, Hebei, China)

**[Abstract]** Objective: To investigate the effects of long non-coding RNA (lncRNA) taurine up-regulated gene 1 (TUG1) on the proliferation, apoptosis, and epithelial-mesenchymal transition (EMT) of papillary thyroid carcinoma (PTC) cells and its mechanism. Methods: Real-time fluorescent quantitative PCR (qPCR) was used to detect the expression of lncRNA TUG1 in 35 pairs of PTC tissue and corresponding paracancerous tissue specimens that were surgically resected in Tangshan Workers' Hospital, Hebei Province from May 2019 to April 2021, human PTC cell lines (TPC-1, BHP10-3, K1, SW1736) and human normal thyroid epithelial Nthyori 3-1 cells. TPC-1 cells were cultured *in vitro* and divided into control group, si-NC group, si-TUG1 group, miR-NC group, miR-524-5p mimic group, si-TUG1+NC inhibitor group, si-TUG1+miR-524-5p inhibitor group, miR-524-5p mimic+pc-DNA group, and miR-524-5p mimic+ pcDNA BRAF (V-raf murine sarcoma viral oncogene homolog B1) group by transfecting corresponding vectors. CCK-8 and FCM methods were used to detect the proliferation and apoptosis of TPC-1 cells, WB method was used to detect the expression of BRAF, proliferating cell nuclear antigen (PCNA), cysteine protease-3 (Caspase-3), E-cadherin, N-cadherin and vimentin in TPC-1 cells, and the dual-luciferase reporter gene experiment was used to verify the targeting relationship between miR-524-5p and lncRNA TUG1 as well as BRAF. Results: lncRNA TUG1 was up-regulated in PTC tissues and cells ( $P<0.05$ ). Silencing the expression of lncRNA TUG1 or up-regulating the expression of miR-524-5p could significantly inhibit the proliferation and EMT, and promote apoptosis of TPC-1 cells (all  $P<0.05$ ). Dual-luciferase reporter gene experiment showed that there was a targeting relationship between miR-524-5p

**[作者简介]** 李秀君(1984—),女,主治医师,头颈部肿瘤及女性生殖系统肿瘤,E-mail:lxj1984li@163.com



and lncRNA TUG1 as well as between miR-524-5p and BRAF (all  $P<0.05$ ). Silencing the expression of miR-524-5p could reverse the effects of lncRNA TUG1 knockdown on inhibiting proliferation and EMT and promoting apoptosis of TPC-1 cells (all  $P<0.05$ ), and up-regulation of BRAF expression could reverse the effects of miR-524-5p overexpression on inhibiting proliferation, EMT and promoting apoptosis of TPC-1 cell (all  $P<0.05$ ). **Conclusion:** lncRNA TUG1 is up-regulated in PTC tissues and TPC-1 cells. Silencing the expression of lncRNA TUG1 can inhibit proliferation and EMT but promote cell apoptosis of PTC cells by regulating the miR-524-5p/BRAF axis.

**[Key words]** long non-coding RNA taurine up-regulated gene 1 (lncRNA TUG1); miR-524-5p; V-raf murine sarcoma viral oncogene homolog B1 (BRAF); papillary thyroid carcinoma (PTC); proliferation; apoptosis; epithelial-mesenchymal transition (EMT)

[Chin J Cancer Biother, 2022, 29(5): 434-441. DOI: 10.3872/j.issn.1007-385x.2022.05.007]

甲状腺乳头状癌(papillary thyroid carcinoma, PTC)是甲状腺癌的亚型之一,占所有甲状腺恶性肿瘤的80%,多数PTC可被治愈,仍有部分患者治疗后发生复发与转移,影响其预后。EMT是PTC发展的关键步骤,因此研究PTC发生发展机制,寻找新的治疗靶点具有重要意义<sup>[1-2]</sup>。牛磺酸上调基因1(taurine up-regulated gene 1, TUG1)为lncRNA之一,有研究<sup>[3]</sup>发现,lncRNA TUG1在PTC组织与细胞系中表达上调,上调lncRNA TUG1表达可显著促进PTC细胞增殖与侵袭,而下调lncRNA TUG1可明显抑制细胞增殖、迁移与侵袭。lncRNA通过作为内源性竞争性RNA通过结合miRNA影响疾病进展,lncRNA TUG1通过结合miR-524-5p来介导无远端同源盒1(distal-less homeobox 1, DLX1)基因的表达从而调控口腔鳞癌的发展<sup>[4]</sup>。有研究<sup>[5]</sup>发现,miR-524-5p在PTC组织与细胞中低表达,可影响PTC细胞活力、迁移、侵袭和凋亡。鼠类肉瘤滤过性毒菌致癌同源体B1(V-raf murine sarcoma viral oncogene homolog B1,BRAF)基因与PTC的发展密切相关,其基因突变与PTC患者的临床病理特征和预后相关<sup>[6]</sup>。有研究<sup>[7]</sup>表明,miR-524-5p通过靶向BRAF和ERK2抑制黑色素瘤的生长。lncRNA TUG1是否通过调控miR-524-5p/BRAF轴影响PTC发生发展尚未见报道。本研究将探索lncRNA TUG1对PTC细胞增殖、凋亡、EMT进程的影响及其可能的分子机制。

## 1 材料与方法

### 1.1 组织标本、细胞及主要试剂

选择2019年5月至2021年4月间在河北省唐山市工人医院手术切除的35例PTC组织及对应癌旁组织标本。患者术前未经任何放化疗,年龄29~72岁,平均年龄( $60.10\pm9.30$ )岁,经病理诊断均为PTC。本研究方案经本院伦理委员会批准(批准号:GRYY-LL-KJ2019-K43),所有患者知情同意并签署知情同意书。

人PTC细胞TPC-1、BHP10-3、K1、SW-1736及人正常甲状腺上皮细胞Nthyori 3-1均购自美国ATCC

公司,RPMI 1640培养基(SH30809.01)、胎牛血清(SH30068.03)购自美国Hyclone公司。抑制lncRNA TUG1表达质粒(si-TUG1)及对照质粒(si-NC)、miR-524-5p过表达质粒(miR-524-5p mimic)及对照质粒(miR-NC)、抑制miR-524-5p表达质粒(miR-524-5p inhibitor)及对照质粒(NC inhibitor)、BRAF过表达质粒(pcDNA BRAF)及对照质粒(pcDNA),以及miR-524-5p、lncRNA TUG1及U6、GAPDH引物均购自GenePharma公司。TRIzol试剂(R0016)、BeyoRT™ II cDNA第一链合成试剂盒(D7168M)、BeyoFast™ SYBR Green qPCR Mix(D7260)、CCK-8试剂盒(C0038)均购自Beyotime公司,Lipofectamine® 3000转染试剂(L3000008)购自Invitrogen公司,双荧光素酶活性检测试剂盒(ZY130595)购自泽叶生物公司,Annexin V-FITC/PI凋亡检测试剂盒(CA1020)购自北京索莱宝公司,兔抗人BRAF(9433)、PCNA(13110)、Caspase-3(14220)抗体均购自美国CST公司,兔抗E-cadherin(ab76319)、N-cadherin(ab245827)、vimentin(ab92547)抗体及HRP标记羊抗兔二抗(ab6721)均购自Abcam公司。

### 1.2 细胞培养及转染

TPC-1、BHP10-3、K1、SW1736、Nthyori 3-1细胞均用含10%的RPMI 1640培养基进行培养。

将TPC-1细胞分为对照组、si-NC组、si-TUG1组、miR-NC组、miR-524-5p mimic组、si-TUG1+miR-524-5p inhibitor组、si-TUG1+NC inhibitor组、miR-524-5p mimic+pcDNA组和miR-524-5p mimic+pcDNA BRAF组,选择对数生长期TPC-1细胞,以每孔 $4\times10^5$ 个细胞接种至6孔板中,待细胞汇合度至约70%时,按上述分组进行转染,转染6 h后更换新的RPMI 1640培养基继续培养48 h,进行鉴定转染效率检测实验。

### 1.3 qPCR检测PTC组织和细胞中lncRNA TUG1、miR-524-5p表达

TRIzol试剂提取PTC组织及细胞总RNA,BeyoRT™ II cDNA第一链合成试剂盒合成cDNA后,采用SYBR Green法试剂盒进行qPCR实验。qPCR



反应条件为95 °C预变性5 min, 95 °C 30 s、65 °C 45 s, 40个循环, 72 °C 5 min。以GAPDH、U6为内参基因, 采用 $2^{-\Delta\Delta Ct}$ 方法计算lncRNA TUG1、miR-524-5p的相对表达量。lncRNA TUG1的正向引物为5'-CTATACTCAGCTTCAGTGTT-3', 反向引物为5'-TACTGTATGGCCACCACTCC-3'; GAPDH的正向引物为5'-CTGGGCTACACTGAGCACC-3', 反向引物为5'-AGTGGTCGTTGAGGGCAATG-3'; miR-524-5p的正向引物为5'-CTACAAAGGGAA GCACTT-3', 反向引物为5'-AACATGTCTGCG TATCTC-3'; U6的正向引物为5'-CTCGCT CCGGCAGCACA-3', 反向引物为5'-AACGCTTCA CGAATTGCGT-3'。

#### 1.4 双荧光素酶报告基因实验验证miR-524-5p与lncRNA TUG1、BRAF之间的靶向关系

数据库(Microrna、StarBase和RegRNA)预测结果显示miR-524-5p与lncRNA TUG1、BRAF之间有结合位点, 根据结合区域序列, 分别构建TUG1-WT、BRAF-WT野生型荧光素酶质粒与TUG1-MUT、BRAF-MUT突变荧光素酶质粒, 将构建质粒分别和miR-NC、miR-524-5p mimic共转染TPC-1细胞, 转染48 h后, 裂解细胞, 检测荧光素酶活性。

#### 1.5 CCK-8法检测细胞增殖

各组转染后TPC-1细胞生长至对数期时, 以每孔 $2 \times 10^4$ 个接种至96孔板中, 分别在培养24、48、72 h时每孔加入10 μL CCK-8溶液, 继续培养2 h, 酶标仪测定在波长450 nm处光密度(D)值, 绘制细胞生长曲线。

#### 1.6 FCM法检测细胞凋亡

转染48 h的各组TPC-1细胞, 制备成 $1 \times 10^6$ 个/mL的细胞悬液, 使用Annexin V-FITC/PI凋亡检测试剂盒检测细胞凋亡, 计算细胞凋亡率。

#### 1.7 WB法检测转染后TPC-1细胞中BRAF、PCNA、Caspase-3、E-cadherin、N-cadherin、vimentin蛋白表达的影响

收集转染后的各组TPC-1细胞, 加入RIPA裂解液提取总蛋白, 蛋白用10% SDS-PAGE分离后转至PVDF膜, 5%牛血清白蛋白封闭后, 分别加入BRAF、PCNA、Caspase-3、E-cadherin(均1:1 000稀释)、N-cadherin(1:1 500稀释)、vimentin(1:1 000稀释)一抗, 4 °C处理过夜, 加入HRP标记的羊抗兔二抗(1:1 500稀释), 室温处理2 h, 加入ECL显色液显色, 以β-actin为内参, Image J软件分析蛋白相对表达量。

#### 1.8 统计学处理

以上主要实验均独立重复3次。采用SPSS 25.0进行数据统计, 符合正态分布的计量资料以 $\bar{x} \pm s$ 表示, 两组间比较采用t检验; GraphPad Prism 8.0绘制

生长曲线。以 $P < 0.05$ 或 $P < 0.01$ 表示差异有统计学意义。

## 2 结果

### 2.1 lncRNA TUG1在PTC组织及细胞中呈明显高表达

qPCR检测结果显示, lncRNA TUG1在PTC组织中表达水平显著高于癌旁组织( $2.49 \pm 0.29$  vs  $1.00 \pm 0.11$ ,  $P < 0.05$ )。与人正常甲状腺上皮Nthyori 3-1细胞比较, lncRNA TUG1在TPC-1( $3.48 \pm 0.41$  vs  $1.00 \pm 0.02$ )、BHP10-3( $2.53 \pm 0.32$  vs  $1.00 \pm 0.02$ )、K1( $1.98 \pm 0.24$  vs  $1.00 \pm 0.02$ )、SW-1736( $2.03 \pm 0.27$  vs  $1.00 \pm 0.02$ )细胞中表达明显处于高水平(均 $P < 0.05$ ), 其中以TPC-1细胞中表达水平最高, 故选择TPC-1细胞进行后续实验。

### 2.2 敲减lncRNA TUG1表达可抑制TPC-1细胞增殖及EMT进程而促进其凋亡

qPCR结果显示, 与si-NC组比较, si-TUG1组TPC-1细胞lncRNA TUG1表达水平显著降低( $0.37 \pm 0.05$  vs  $0.98 \pm 0.10$ ,  $P < 0.05$ ), 说明转染si-TUG1有效地敲减了TPC-1细胞中TUG1的表达水平。CCK-8(图1A)、FCM(图1B)及WB(图1C)法结果显示, 与si-NC组比较, si-TUG1组TPC-1细胞增殖能力、PCNA、N-cadherin、vimentin等蛋白的表达水平均显著降低(均 $P < 0.05$ ), 细胞凋亡率( $P < 0.05$ )及其凋亡相关蛋白Caspase-3、E-cadherin的表达水平均显著升高(均 $P < 0.05$ ), 对照组与si-NC组之间上述指标比较差异均无统计学意义( $P > 0.05$ )。上述结果表明, 敲减lncRNA TUG1表达后能抑制TPC-1细胞增殖及EMT进程, 并促进其凋亡。

### 2.3 lncRNA TUG1靶向miR-524-5p且抑制其表达

生物信息学软件预测显示lncRNA TUG1与miR-524-5p有结合位点(图2A); 双荧光素酶报告基因实验结果(图2B)显示, 与TUG1-WT+miR-NC共转染的TPC-1细胞比较, TUG1-WT+miR-524-5p mimic共转染的TPC-1细胞其相对荧光素酶活性显著降低( $P < 0.05$ ); qPCR结果显示, 敲减lncRNA TUG1表达后, miR-524-5p表达水平显著升高(图2C,  $P < 0.05$ )。上述结果表明, lncRNA TUG1靶向miR-524-5p且抑制其表达。

### 2.4 过表达miR-524-5p能抑制TPC-1细胞增殖和EMT进程而促进其凋亡

qPCR结果显示, 与miR-NC组比较, miR-524-5p mimic组TPC-1细胞miR-524-5p表达水平显著升高( $2.36 \pm 0.24$  vs  $1.05 \pm 0.15$ ,  $P < 0.05$ ), 说明转染miR-524-5p mimic后, TPC-1细胞过表达了miR-524-5p。



CCK-8(图3A)、FCM(图3B)及WB法(图3C)检测结果显示,与miR-NC组比较,miR-524-5p mimic组TPC-1细胞增殖与PCNA、N-cadherin、vimentin蛋白表达水平显著降低(均P<0.05),细胞凋亡率及凋亡相关蛋白Caspase-3、E-cadherin等表达水

平显著升高(均P<0.05),对照组与miR-NC组之间上述指标比较差异无统计学意义(均P>0.05)。上述结果表明,过表达miR-524-5p能抑制TPC-1细胞增殖、EMT进程,促进其凋亡。

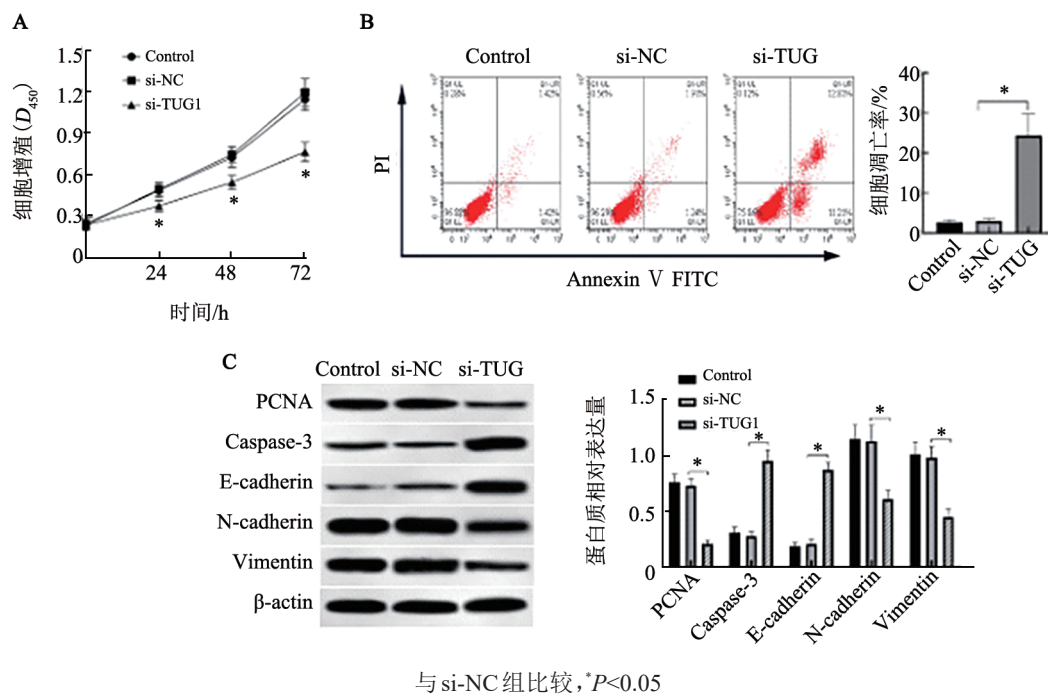


图1 敲减lncRNA TUG1表达对TPC-1细胞增殖(A)、凋亡(B)及EMT相关蛋白表达(C)的影响

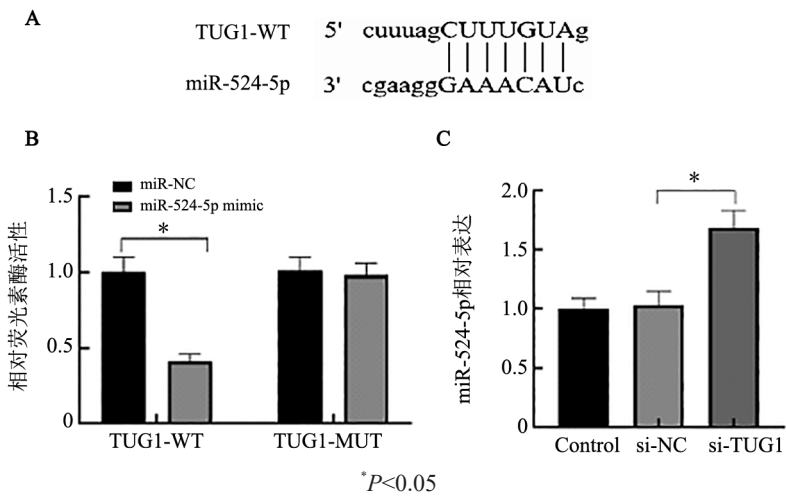


图2 lncRNA TUG1靶向miR-524-5p(A)并抑制其表达(B)

## 2.5 抑制miR-524-5p能逆转敲减TUG1表达对TPC-1细胞增殖、凋亡及EMT进程的影响

CCK-8(图4A)、FCM(图4B)及WB法(图4C)检测结果显示,与si-TUG1+NC inhibitor组比较,si-TUG1+miR-524-5p inhibitor组TPC-1细胞增殖与PCNA、N-cadherin、vimentin蛋白表达水平显著升高(均P<0.05),细胞凋亡率及凋亡相关蛋白Caspase-3、E-cadherin蛋白表达水平显著降低(均P<0.05),

si-TUG1组与si-TUG1+NC inhibitor组之间上述指标比较差异不显著(均P>0.05)。上述结果表明,抑制miR-524-5p能逆转敲减lncRNA TUG1表达对TPC-1细胞增殖、凋亡及EMT进程的影响。

## 2.6 miR-524-5p靶向BRAF并抑制其表达

生物信息学软件预测显示BRAF基因与miR-524-5p有靶向结合位点(图5A)。双荧光素酶报告基因实验结果显示,与BRAF-WT与miR-NC共转染

细胞比较,BRAF-WT与miR-524-5p mimic共转染细胞相对荧光素酶活性显著降低(图5B,  $P<0.05$ );WB法结果显示,与miR-NC组比较,过表达miR-524-5p

后,miR-524-5p mimic组的BRAF蛋白表达水平显著降低(图5C,  $P<0.05$ )。上述结果表明,miR-524-5p靶向BRAF并抑制其表达。

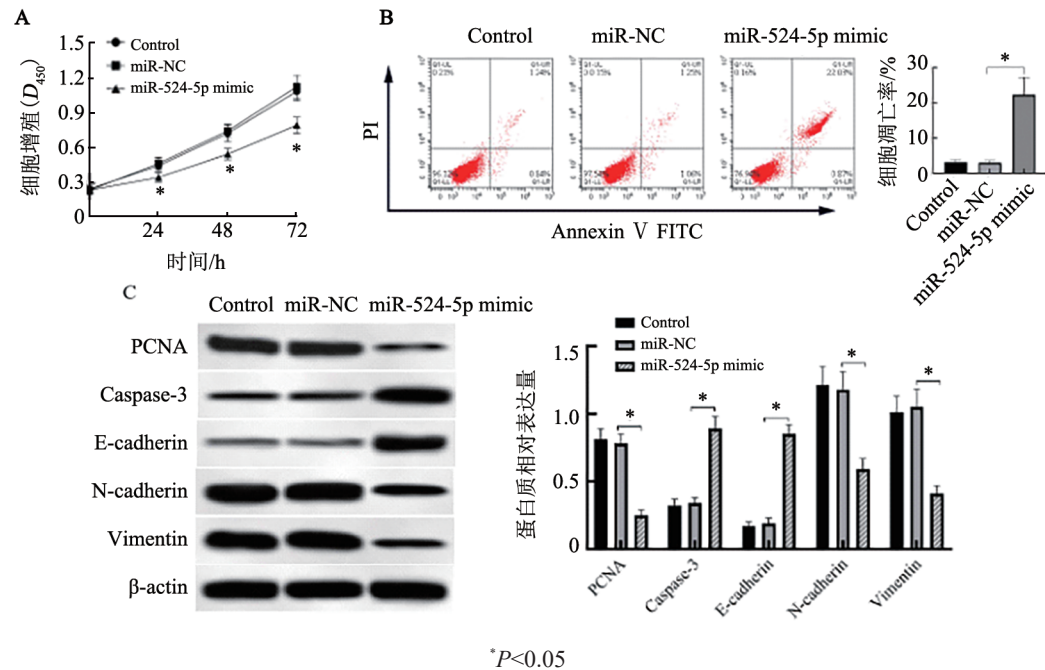


图3 过表达miR-524-5p表达对TPC-1细胞增殖(A)、凋亡(B)及EMT相关蛋白表达(C)的影响

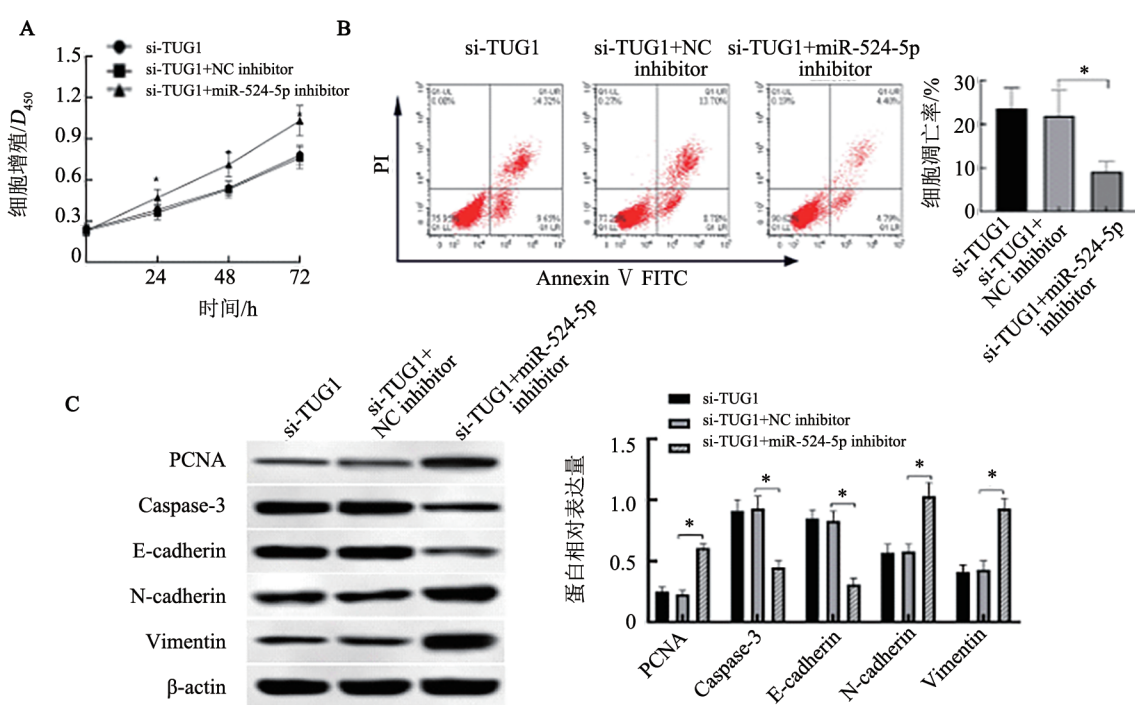


图4 同时抑制miR-524-5p与lncRNA TUG1表达对TPC-1细胞增殖(A)、凋亡(B)及EMT相关蛋白表达(C)的影响

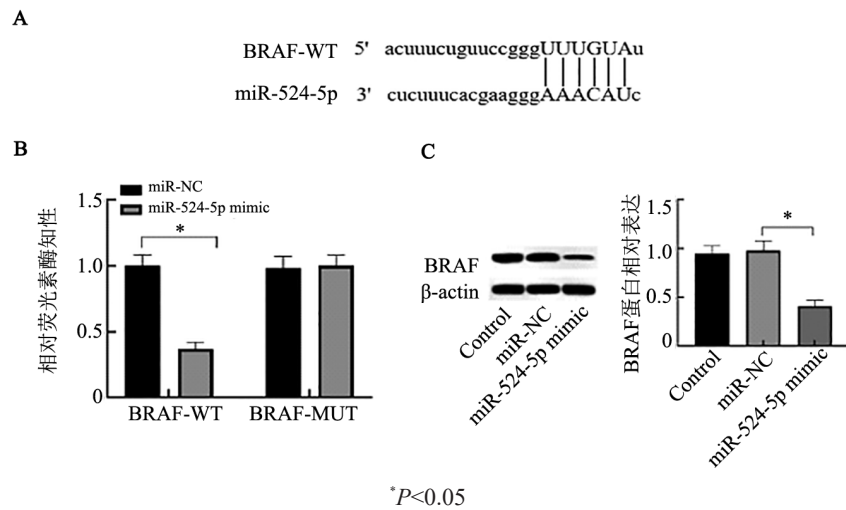
## 2.7 过表达BRAF逆转过表达miR-524-5p对TPC-1细胞增殖、凋亡及EMT进程的影响

CCK-8、WB、FCM法检测结果显示,与miR-524-5p mimic+pc-DNA组比较,miR-524-5p mimic+

pcDNA BRAF组TPC-1细胞增殖(图6A)与PCNA、N-cadherin、vimentin蛋白表达水平(图6C)显著升高(均 $P<0.05$ ),细胞凋亡率(图6B)及凋亡相关蛋白Caspase-3、E-cadherin蛋白表达水平(图6C)显著降低

(均  $P < 0.05$ ) , miR-524-5p mimic 组与 miR-524-5p mimic+pc-DNA 组之间上述指标比较差异不显著(图 6, 均  $P > 0.05$ )。上述结果表明, 过表达 BRAF 可

部分逆转过表达 miR-524-5p 对 TPC-1 细胞增殖、凋亡及 EMT 进程的影响。



A: 生物信息学方法预测 miR-524-5p 与 BRAF 基因之间的结合位点为; B: 双荧光素酶报告基因实验检测 miR-524-5p 与 BRAF 基因间的靶向调控关系; C: WB 法检测过表达 miR-524-5p 对 TPC-1 细胞中 BRAF 蛋白表达的影响

图 5 miR-524-5p 靶向 BRAF 并抑制其表达

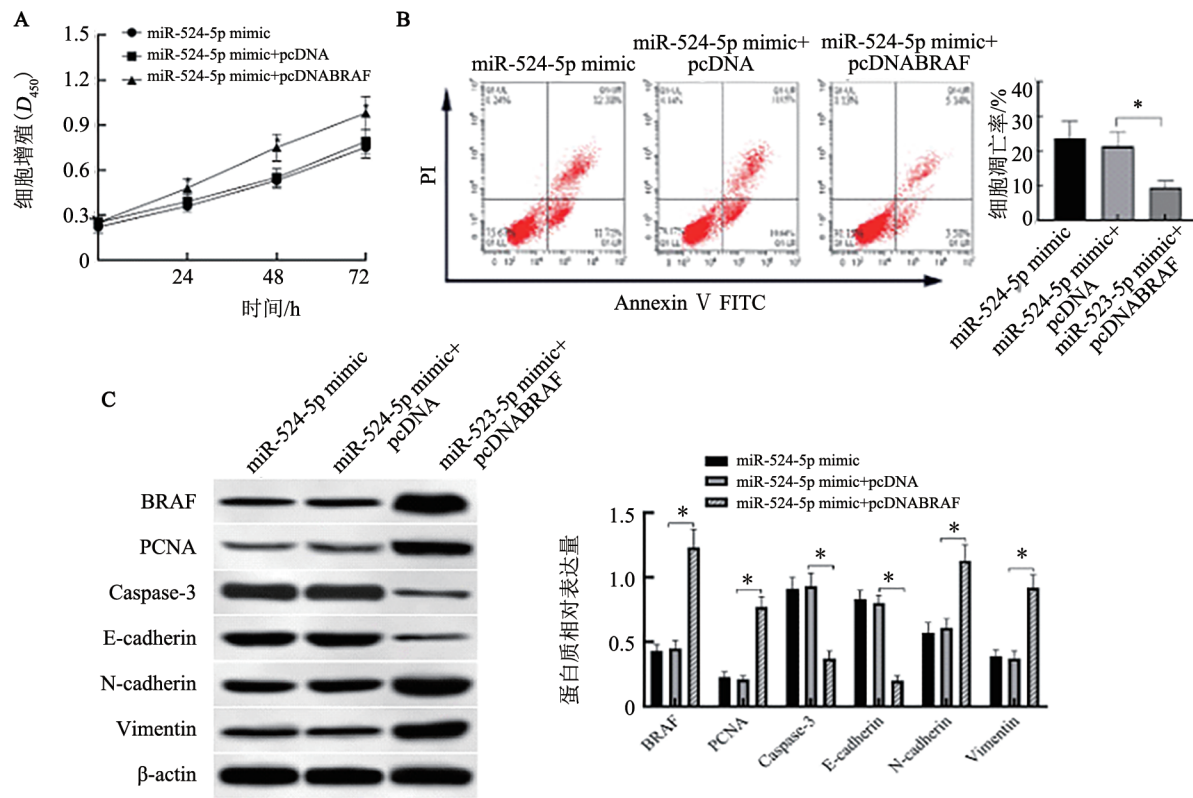


图 6 同时过表达 BRAF 和 miR-524-5p 对 TPC-1 细胞增殖(A)、凋亡(B)及 EMT 相关蛋白表达(C)的影响

### 3 讨 论

lncRNA 在肿瘤的发生、发展中发挥重要作用, HOTAIR、MALAT1、H19 等多种 lncRNA 已经被证明

是许多癌症发生发展的关键调控因子<sup>[8-9]</sup>。多种 lncRNA 与 PTC 的发展、转移和预后密切相关, 可参与调控 PTC 细胞增殖与迁移等恶性生物学行为<sup>[10-11]</sup>。lncRNA TUG1 与多种肿瘤的发生发展密切相关, 在

食管癌中, lncRNA TUG1 通过结合 miR-1294 调节 PLK1 表达影响食管癌细胞的增殖、凋亡和侵袭<sup>[12]</sup>。已有研究<sup>[13]</sup>显示, lncRNA TUG1 在 PTC 组织与细胞中表达上调, 抑制 lncRNA TUG1 表达可靶向作用于 miR-145, 上调锌指 E-盒结合同源异形盒-1 的表达, 抑制 PTC 细胞的增殖与侵袭。lncRNA TUG1 还可通过结合 miR-382 促进胰腺癌细胞增殖、迁移和 EMT 表型的形成<sup>[14]</sup>。本研究 qPCR 结果显示, lncRNA TUG1 在 PTC 组织与细胞中表达水平显著升高, 与申伟等<sup>[13]</sup>研究结果一致。在 TPC-1 细胞中敲减 lncRNA TUG1 表达后, TPC-1 细胞增殖与 PCNA、N-cadherin、vimentin 蛋白表达水平显著降低, 细胞凋亡率及凋亡相关蛋白 Caspase-3、E-cadherin 表达水平显著升高, 提示敲减 lncRNA TUG1 表达可显著抑制 TPC-1 细胞增殖及 EMT 进程, 并促进细胞凋亡, 与先前报道结果<sup>[3]</sup>类似。

lncRNA 可通过作为竞争性内源性 RNA 结合 miRNA 参与肿瘤的发生发展<sup>[15]</sup>。在胃癌中, miR-524-5p 可抑制胃癌细胞的生长和侵袭能力, 发挥抑癌基因的作用<sup>[16]</sup>。在乳腺癌中, miR-524-5p 可靶向 FSTL1 抑制乳腺癌细胞的迁移、侵袭和 EMT 进程<sup>[17]</sup>。本研究发现, lncRNA TUG1 能海绵化 miR-524-5p 并抑制其作用; TPC-1 细胞中敲减 lncRNA TUG1 表达可上调 miR-524-5p 表达; TPC-1 细胞中过表达 miR-524-5p 能抑制细胞增殖与 PCNA、N-cadherin、vimentin 蛋白表达, 促进细胞凋亡及 Caspase-3、E-cadherin 蛋白表达; 抑制 miR-524-5p 表达可逆转敲减 lncRNA TUG1 表达对 TPC-1 细胞的作用。上述结果表明, lncRNA TUG1 通过靶向 miR-524-5p 调控 PTC 细胞增殖、凋亡与 EMT 进程。

miR-524-5p 可与靶基因的 3' UTR 区结合调控肿瘤细胞的增殖、迁移与侵袭<sup>[18-19]</sup>。BRAF 是 MAPK/ERK 通路的上游分子, 在第 600 位(V600E)发生的氨基酸改变即 V600E 显性激活突变, 与肿瘤的发生密切相关<sup>[20]</sup>。研究<sup>[21]</sup>显示, BRAF 在 PTC 中呈阳性表达, 其基因突变与 PTC 肿瘤直径、淋巴结转移等有关。本研究证实, miR-524-5p 与 BRAF 存在靶向关系, 并发现 TPC-1 细胞中 miR-524-5p 呈高表达、BRAF 呈低表达; 过表达 BRAF 可逆转过表达 miR-524-5p 对 TPC-1 细胞增殖、EMT 的抑制和凋亡的促进作用, 表明 miR-524-5p 可通过靶向抑制 BRAF 表达, 从而抑制 TPC-1 细胞增殖及 EMT, 促进细胞凋亡。

综上所述, lncRNA TUG1 在 PTC 组织与细胞中呈高表达, 敲减 lncRNA TUG1 可通过调节 miR-524-5p/BRAF 轴抑制 PTC 细胞增殖与 EMT 进程、促进细胞凋亡。

## 参 考 文 献

- [1] SHAKIB H, RAJABI S, DEHGHAN M H, et al. Epithelial-to-mesenchymal transition in thyroid cancer: a comprehensive review [J]. Endocrine, 2019, 66(3): 435-455. DOI: 10.1007/s12020-019-02030-8.
- [2] YAN T, QIU W W, SONG J L, et al. ARHGAP36 regulates proliferation and migration in papillary thyroid carcinoma cells[J]. J Mol Endocrinol, 2021, 66(1): 1-10. DOI: 10.1530/JME-20-0230.
- [3] LEI H W, GAO Y, XU X Y. lncRNA TUG1 influences papillary thyroid cancer cell proliferation, migration and EMT formation through targeting miR-145[J]. Acta Biochim Biophys Sin (Shanghai), 2017, 49(7): 588-597. DOI: 10.1093/abbs/gmx047.
- [4] LIU S Y, LIU L H, HU W W, et al. Long noncoding RNA TUG1 regulates the development of oral squamous cell carcinoma through sponging miR-524-5p to mediate DLX1 expression as a competitive endogenous RNA[J]. J Cell Physiol, 2019, 234(11): 20206-20216. DOI: 10.1002/jcp.28620.
- [5] LIU H, CHEN X, LIN T, et al. MicroRNA-524-5p suppresses the progression of papillary thyroid carcinoma cells via targeting on FOXE1 and ITGA3 in cell autophagy and cycling pathways[J]. J Cell Physiol, 2019, 234(10): 18382-18391. DOI: 10.1002/jcp.28472.
- [6] 代丽丽, 张国安, 韩莎, 等. BRAF V600E 和 TERT 启动子突变与甲状腺乳头状癌临床病理特征的关系[J]. 临床与实验病理学杂志, 2018, 34(6): 673-676. DOI: 10.13315/j.cnki.ejcep.2018.06.021.
- [7] LIU S M, LU J, LEE H C, et al. miR-524-5p suppresses the growth of oncogenic BRAF melanoma by targeting BRAF and ERK2[J]. Oncotarget, 2014, 5(19): 9444-9459. DOI: 10.18632/oncotarget.2452.
- [8] LIM L J, WONG S Y S, HUANG F Y, et al. Roles and regulation of long noncoding RNAs in hepatocellular carcinoma[J]. Cancer Res, 2019, 79(20): 5131-5139. DOI: 10.1158/0008-5472.CAN-19-0255.
- [9] LI Z Y, LIU W Z, GUANG H, et al. Silencing of long noncoding RNA H19 inhibited invasion and migration of papillary thyroid cancer cells via microRNA-138-dependent regulating of LRRK2[J]. J Biol Regul Homeost Agents, 2021, 35(1): 253-258. DOI: 10.23812/20-422-L.
- [10] XIAO X, LI L, CUI J C, et al. lncRNA FALEC promotes proliferation, migration, and invasion of PTC cells through regulating Wnt/β-catenin signaling pathway[J]. Eur Rev Med Pharmacol Sci, 2020, 24(8): 4361-4367. DOI: 10.26355/eurrev\_202004\_21017.
- [11] GUAN Y, LI Y, YANG Q B, et al. lncRNA ABCC6P1 promotes proliferation and migration of papillary thyroid cancer cells via Wnt/β-catenin signaling pathway[J]. Ann Transl Med, 2021, 9(8): 664 [2021-12-6]. <https://pubmed.ncbi.nlm.nih.gov/33987362/>. DOI: 10.21037/atm-21-505.
- [12] ZONG M Z, FENG W T, WAN L, et al. lncRNA TUG1 promotes esophageal cancer development through regulating PLK1 expression by sponging miR-1294[J]. Biotechnol Lett, 2020, 42(12): 2537-2549. DOI: 10.1007/s10529-020-02984-0.
- [13] 申伟, 赵苏远, 张珊珊, 等. 长链非编码 RNA 牛磺酸上调基因靶向作用于微小 RNA-145 对甲状腺癌细胞侵袭的影响及其机制[J]. 中华实验外科杂志, 2021, 38(2): 323-326. DOI: 10.3760/cma.j.cn421213-20200608-01194.



- [14] ZHAO L, SUN H W, KONG H R, *et al.* The lncRNA-TUG1/EZH2 axis promotes pancreatic cancer cell proliferation, migration and EMT phenotype formation through sponging mir-382[J]. *Cell Physiol Biochem*, 2017, 42(6): 2145-2158. DOI:10.1159/000479990.
- [15] ZHANG Y, GUO S, WANG S, *et al.* lncRNA OIP5-AS1 inhibits ferroptosis in prostate cancer with long-term cadmium exposure through miR-128-3p/SLC7A11 signaling[J]. *Ecotoxicol Environ Saf*, 2021, 220: 112376[2021-12-6]. <https://www.sciencedirect.com/science/article/pii/S0147651321004887?via%3Dihub>. DOI:10.1016/j.ecoenv.2021.112376.
- [16] ZHU C Y, MENG F Q, LIU J. MicroRNA-524-5p suppresses cell proliferation and promotes cell apoptosis in gastric cancer by regulating CASP3[J]. *Eur Rev Med Pharmacol Sci*, 2019, 23(18): 7968-7977. DOI:10.26355/eurrev\_201909\_19013.
- [17] JIN T B, ZHANG Y, ZHANG T Y. miR-524-5p suppresses migration, invasion, and EMT progression in breast cancer cells through targeting FSTL1[J]. *Cancer Biother Radiopharm*, 2020, 35(10): 789-801. DOI:10.1089/cbr.2019.3046.
- [18] CHEN H W, CHENG C, GAO S M. MicroRNA-524-5p inhibits proliferation and induces cell cycle arrest of osteosarcoma cells via targeting CDK6[J]. *Biochem Biophys Res Commun*, 2020, 530(3): 566-573. DOI:10.1016/j.bbrc.2020.07.092.
- [19] BAI X, ZHANG S, QIAO J, *et al.* Long non-coding RNA SChLAP1 regulates the proliferation of triple negative breast cancer cells via the miR-524-5p/HMGA2 axis[J]. *Mol Med Rep*, 2021, 23(6): 446[2021-12-6]. <https://pubmed.ncbi.nlm.nih.gov/33846810/>. doi: 10.3892/mmr.2021.12085.
- [20] SU X, LI P, HAN B, *et al.* Vitamin C sensitizes BRAF V600E thyroid cancer to PLX4032 via inhibiting the feedback activation of MAPK/ERK signal by PLX4032[J]. *J Exp Clin Cancer Res*, 2021, 40(1): 34[2021-12-6]. <https://pubmed.ncbi.nlm.nih.gov/33468157/>. DOI:10.1186/s13046-021-01831-y.
- [21] 刘世阳, 赵璐, 王琨, 等. 雌激素受体 $\alpha$ 蛋白与BRAF V600E蛋白在甲状腺乳头状癌中的表达及其临床意义[J]. 中华普通外科杂志, 2021, 36(6): 436-439. DOI:10.3760/cma.j.cn113855-20200712-00554.

[收稿日期] 2022-01-08

[修回日期] 2022-04-21

[本文编辑] 向正华